

# Automatické řízení – simulační úloha

## Kulička v obruči

Jiří Kubík

*České Vysoké Učení Technické v Praze,  
Fakulta elektrotechnická,  
Email: kubikji2@fel.cvut.cz*

### 1. Zadání

Laboratorní model představený v této simulační úloze je nelineární stabilní systém s jedním vstupem ( $u(t)$  [V]) popisující stejnosměrné napětí na motoru a se třemi výstupy úhlová rychlost otáčení obruče ( $\omega(t)$  [rad/s]), úhel natočení obruče ( $\varphi(t)$  [rad]) a poloha kuličky v obruči ( $\psi(t)$  [rad]).

#### 1.1. Modelování

Systém kuličky v obruči je možné popsat pomocí následujících rovnic:

$$J_h \ddot{\varphi}(t) + m(R-r)^2 \ddot{\psi}(t) + b_h \dot{\varphi}(t) + mg(R-r) \sin(\psi(t)) = M(t) \quad (1)$$

$$\frac{J_b R}{r^2} \ddot{\varphi}(t) - \left( \frac{J_b}{r^2} + \frac{m(R-r)^2}{R^2} \right) R \ddot{\psi}(t) + \frac{b_b}{r^2} R (\dot{\varphi}(t) - \dot{\psi}(t)) - mg \frac{R-r}{R} \sin \psi(t) = 0 \quad (2)$$

Úpravou a užitím substituce

$$k_1 = m(R-r)^2 \quad (3)$$

$$k_2 = mg(R-r) \quad (4)$$

$$k_3 = \frac{J_b R}{r^2} \quad (5)$$

$$k_4 = \left( \frac{J_b}{r^2} + \frac{m(R-r)^2}{R^2} \right) R \quad (6)$$

$$k_5 = \frac{b_b R}{r^2} \quad (7)$$

$$k_6 = k_1 k_3 + k_4 J_h \quad (8)$$

dostáváme z rovnic (1) a (2):

$$\begin{aligned} \ddot{\varphi}(t) = & -\frac{k_1}{k_6} \left( \frac{k_4 b_h}{k_1} + k_5 \right) \dot{\varphi}(t) + \\ & + k_5 \frac{k_1}{k_6} \dot{\psi}(t) + k_2 \frac{k_1}{k_6} \left( \frac{1}{R} - \frac{k_4}{k_1} \right) \sin \psi(t) + \frac{k_1}{k_6} \frac{k_3}{J_h} M(t) \end{aligned} \quad (9)$$

$$\begin{aligned} \ddot{\psi}(t) = & \frac{J_h}{k_6} \left( -\frac{k_3 b_h}{J_h} + k_5 \right) \dot{\varphi}(t) - \\ & - k_5 \frac{J_h}{k_6} \dot{\psi}(t) + k_2 \frac{J_h}{k_6} \left( -\frac{1}{R} - \frac{k_3}{J_h} \right) \sin \psi(t) + \frac{J_h}{k_6} \frac{k_3}{J_h} M(t) \end{aligned} \quad (10)$$

### 2. Úlohy

Substitucí za příslušné koeficienty před jednotlivými derivacemi a užitím lineární závislosti motoru  $M(t) = bu(t)$  dostáváme soustavu diferenciálních rovnic:

$$\ddot{\varphi}(t) = c_1 \dot{\varphi}(t) + c_2 \dot{\psi}(t) + c_3 \sin \psi(t) + c_4 u(t) \quad (11)$$

$$\ddot{\psi}(t) = d_1 \dot{\varphi}(t) + d_2 \dot{\psi}(t) + d_3 \sin \psi(t) + d_4 u(t) \quad (12)$$

#### 2.1.

*Napište stavové rovnice popisující systém s obecnými parametry a zjednodušte je za předpokladu  $R \gg r$ . Pokuste se sdružit konstanty u jednotlivých členů do jedné.*

Substituce:

$$\ddot{\varphi}(t) = \dot{x}_1 \leftrightarrow \dot{\varphi}(t) = x_1 \quad (13)$$

$$\dot{\varphi}(t) = \dot{x}_2 \leftrightarrow \varphi(t) = x_2 \quad (14)$$

$$\ddot{\psi}(t) = \dot{x}_3 \leftrightarrow \dot{\psi}(t) = x_3 \quad (15)$$

$$\dot{\psi}(t) = \dot{x}_4 \leftrightarrow \psi(t) = x_4 \quad (16)$$

Použitím výše uvedených rovnic rovnic (11) a (12) následující soustavu stavových rovnic:

$$\dot{x}_1 = c_1 x_1 + c_2 x_3 + c_3 \sin(x_4) + c_4 u(t) \quad (17)$$

$$\dot{x}_2 = x_1 \quad (18)$$

$$\dot{x}_3 = d_1 x_1 + d_2 x_3 + d_3 \sin(x_4) + d_4 u(t) \quad (19)$$

$$\dot{x}_4 = x_3 \quad (20)$$

Za předpokladu  $R \gg r$  přibližně platí pro konstanty  $k_{1-6}$ :

$$k_1 = m(R-r)^2 \rightarrow k'_1 = mR^2 \quad (21)$$

$$k_2 = mg(R-r) \rightarrow k'_2 = mgR \quad (22)$$

$$k_3 = \frac{J_b R}{r^2} \rightarrow k'_3 = \frac{2}{5} mR \quad (23)$$

$$k_4 = \left( \frac{J_b}{r^2} + \frac{m(R-r)^2}{R^2} \right) R \rightarrow k'_4 = \frac{7}{5} mR \quad (24)$$

$$k_5 = \frac{b_b R}{r^2} \rightarrow k'_5 = \frac{b_b R}{r^2} \quad (25)$$

$$k_6 = \frac{1}{k_1 k_3 + k_4 J_h} \rightarrow k'_6 = \frac{5}{mR(2R^2 m + 7J_h)} \quad (26)$$

Dosažením upravených konstant  $k'_{1-6}$  do rovnic (11) a (12) získáváme:

$$\begin{aligned} \ddot{\varphi}(t) = & -\frac{7b_h r^2 + 5b_b R^2}{r^2(2mR^2 + 7J_h)} \dot{\varphi}(t) + \\ & + \frac{5b_b R^2}{2mR^2 + 7J_h} \dot{\psi}(t) - \frac{mg(5R^2 - 7)}{2mR^2 + 7J_h} \sin \psi(t) + \\ & + \frac{7b}{2mR^2 + 7J_h} u(t) \quad (27) \end{aligned}$$

$$\begin{aligned} \ddot{\psi}(t) = & \frac{5J_h b_b - 2mb_h r^2}{r^2 m(2mR^2 + 7J_h)} \dot{\varphi}(t) - \\ & - \frac{5J_h b_b}{mr^2(2mR^2 + 7J_h)} \dot{\psi}(t) + \frac{g(5J_h + mR^2)}{R(2mR^2 + 7J_h)} \sin \psi(t) + \\ & + \frac{2b}{2mR^2 + 7J_h} u(t) \quad (28) \end{aligned}$$

## 2.2.

Model z bodu 1 linearizujte v rovnovážném stavu a s vytvořte linearizovaný model s obecnými parametry.

Pro lineární aproximaci v okolí pracovního bodu platí:

$$\vec{x}(t) = \vec{x}_p(t) + \Delta \vec{x}(t) \quad (29)$$

$$\vec{u}(t) = \vec{u}_p(t) + \Delta \vec{u}(t) \quad (30)$$

$$\vec{y}(t) = \vec{y}_p(t) + \Delta \vec{y}(t) \quad (31)$$

V našem případě pro rovnovážný stav P platí, že  $\vec{x}_p = [0 \ 0 \ 0 \ 0]$ ,  $\vec{u}_p = [0]$  a  $\vec{y}_p = [0 \ 0 \ 0]$ . Zdefinujeme-li  $\vec{y} = [\omega \ \varphi \ \psi]$ , pak aproximací nelineárních rovnic (17)-(20), užitím substitucí (13), (14) a (16) a za znalosti vztahu  $\omega = \dot{\varphi}$  dostáváme vektorové rovnice:

$$\dot{\vec{x}}(t) = \vec{f}(\vec{x}(t), \vec{u}(t)) \quad (32)$$

$$\vec{y}(t) = \vec{h}(\vec{x}(t), \vec{u}(t)) \quad (33)$$

které v mají po rozepsání tvar:

$$\dot{x}_1 = c_1 x_1 + c_2 x_3 + c_3 \sin(x_4) + c_4 u(t) \quad (34)$$

$$\dot{x}_2 = x_1 \quad \dot{x}_4 = x_3 \quad (35)$$

$$\dot{x}_3 = d_1 x_1 + d_2 x_3 + d_3 \sin(x_4) + d_4 u(t) \quad (36)$$

$$y_1 = x_1 \quad y_2 = x_2 \quad y_3 = x_4 \quad (37)$$

Výše uvedené rovnice je možné po linearizaci vyjádřit maticovým tvarem:

$$\Delta \dot{\vec{x}}(t) = \mathbf{A} \Delta \vec{x}(t) + \mathbf{B} \Delta \vec{u}(t) \quad (38)$$

$$\Delta \dot{\vec{y}}(t) = \mathbf{C} \Delta \vec{x}(t) + \mathbf{D} \Delta \vec{u}(t) \quad (39)$$

Podle počtu vstupů, výstupů a počtu stavových proměnných systému je vidět, že  $\mathbf{A} \in \mathbb{M}^{4 \times 4}$ ,  $\mathbf{B} \in \mathbb{M}^{4 \times 1}$ ,  $\mathbf{C} \in \mathbb{M}^{3 \times 4}$  a  $\mathbf{D} \in \mathbb{M}^{3 \times 1}$ , pro které platí následující vztahy:

$$\mathbf{A} = \frac{\partial \vec{f}}{\partial \vec{x}} \Big|_{\vec{x}_p, \vec{u}_p} = \begin{bmatrix} \frac{\partial f_1}{\partial x_1} & \frac{\partial f_1}{\partial x_2} & \frac{\partial f_1}{\partial x_3} & \frac{\partial f_1}{\partial x_4} \\ \frac{\partial f_2}{\partial x_1} & \frac{\partial f_2}{\partial x_2} & \frac{\partial f_2}{\partial x_3} & \frac{\partial f_2}{\partial x_4} \\ \frac{\partial f_3}{\partial x_1} & \frac{\partial f_3}{\partial x_2} & \frac{\partial f_3}{\partial x_3} & \frac{\partial f_3}{\partial x_4} \\ \frac{\partial f_4}{\partial x_1} & \frac{\partial f_4}{\partial x_2} & \frac{\partial f_4}{\partial x_3} & \frac{\partial f_4}{\partial x_4} \end{bmatrix}_{\vec{x}_p, \vec{u}_p} \quad (40)$$

$$\mathbf{B} = \frac{\partial \vec{f}}{\partial \vec{u}} \Big|_{\vec{x}_p, \vec{u}_p} = \begin{bmatrix} \frac{\partial f_1}{\partial u} \\ \frac{\partial f_2}{\partial u} \\ \frac{\partial f_3}{\partial u} \\ \frac{\partial f_4}{\partial u} \end{bmatrix}_{\vec{x}_p, \vec{u}_p} \quad (41)$$

$$\mathbf{C} = \frac{\partial \vec{h}}{\partial \vec{x}} \Big|_{\vec{x}_p, \vec{u}_p} = \begin{bmatrix} \frac{\partial h_1}{\partial x_1} & \frac{\partial h_1}{\partial x_2} & \frac{\partial h_1}{\partial x_3} & \frac{\partial h_1}{\partial x_4} \\ \frac{\partial h_2}{\partial x_1} & \frac{\partial h_2}{\partial x_2} & \frac{\partial h_2}{\partial x_3} & \frac{\partial h_2}{\partial x_4} \\ \frac{\partial h_3}{\partial x_1} & \frac{\partial h_3}{\partial x_2} & \frac{\partial h_3}{\partial x_3} & \frac{\partial h_3}{\partial x_4} \end{bmatrix}_{\vec{x}_p, \vec{u}_p} \quad (42)$$

$$\mathbf{D} = \frac{\partial \vec{h}}{\partial \vec{u}} \Big|_{\vec{x}_p, \vec{u}_p} = \begin{bmatrix} \frac{\partial h_1}{\partial u} \\ \frac{\partial h_2}{\partial u} \\ \frac{\partial h_3}{\partial u} \end{bmatrix}_{\vec{x}_p, \vec{u}_p} \quad (43)$$

$$\mathbf{D} = \frac{\partial \vec{h}}{\partial \vec{u}} \Big|_{\vec{x}_p, \vec{u}_p} = \begin{bmatrix} \frac{\partial h_1}{\partial u} \\ \frac{\partial h_2}{\partial u} \\ \frac{\partial h_3}{\partial u} \end{bmatrix}_{\vec{x}_p, \vec{u}_p} \quad (44)$$

$$\mathbf{D} = \frac{\partial \vec{h}}{\partial \vec{u}} \Big|_{\vec{x}_p, \vec{u}_p} = \begin{bmatrix} \frac{\partial h_1}{\partial u} \\ \frac{\partial h_2}{\partial u} \\ \frac{\partial h_3}{\partial u} \end{bmatrix}_{\vec{x}_p, \vec{u}_p} \quad (45)$$

$$\mathbf{D} = \frac{\partial \vec{h}}{\partial \vec{u}} \Big|_{\vec{x}_p, \vec{u}_p} = \begin{bmatrix} \frac{\partial h_1}{\partial u} \\ \frac{\partial h_2}{\partial u} \\ \frac{\partial h_3}{\partial u} \end{bmatrix}_{\vec{x}_p, \vec{u}_p} \quad (46)$$

Výpočtem parciálních derivací uvnitř matic **A**, **B**, **C** a **D** dostáváme:

$$\mathbf{A} = \begin{bmatrix} c_1 & 0 & c_2 & c_3 \\ 1 & 0 & 0 & 0 \\ d_1 & 0 & d_2 & d_3 \\ 0 & 0 & 0 & 1 \end{bmatrix}$$

$$\mathbf{B} = \begin{bmatrix} c_4 \\ 0 \\ d_4 \\ 0 \end{bmatrix} \quad \mathbf{C} = \begin{bmatrix} 1 & 0 & 0 & 0 \\ 0 & 1 & 0 & 0 \\ 0 & 0 & 1 & 0 \end{bmatrix} \quad \mathbf{D} = \begin{bmatrix} 0 \\ 0 \\ 0 \end{bmatrix} \quad (47)$$

Zpětnou substitucí za konstanty  $c_{1-4}$  a  $d_{1-4}$  s použitím zjednodušených konstant  $k'_{1-6}$  získáváme matice **A**, **B**, **C** a **D** ve tvaru:

$$\mathbf{A} = \begin{bmatrix} -\frac{7b_h r^2 + 5b_b R^2}{r^2(2mR^2 + 7J_h)} & 0 & \frac{5b_b R^2}{2mR^2 + 7J_h} & -\frac{2mgR}{2mR^2 + 7J_h} \\ 1 & 0 & 0 & 0 \\ \frac{5J_h b_b - 2mb_h r^2}{r^2 m(2mR^2 + 7J_h)} & 0 & -\frac{5J_h b_b}{mr^2(2mR^2 + 7J_h)} & -\frac{g(5J_h + 2mR^2)}{R(2mR^2 + 7J_h)} \\ 0 & 0 & 1 & 0 \end{bmatrix}$$

$$\mathbf{B} = \begin{bmatrix} \frac{7b}{2mR^2 + 7J_h} \\ 0 \\ \frac{2b}{2mR^2 + 7J_h} \\ 0 \end{bmatrix} \quad \mathbf{C} = \begin{bmatrix} 1 & 0 & 0 & 0 \\ 0 & 1 & 0 & 0 \\ 0 & 0 & 0 & 1 \end{bmatrix} \quad \mathbf{D} = \begin{bmatrix} 0 \\ 0 \\ 0 \end{bmatrix} \quad (48)$$

Už při prvním pohledu na matice **A**, **B**, **C** a **D** se nejvýrazněji nabízí sdružení konstant  $2mR^2 + 7J_h$  do jedné a dále sdružení konstant  $5J_h b_b$  a  $5b_b R^2$  do dalších dvou individuálních konstant.

### 2.3.

*Identifikujte všechny statické nelinearity – saturace vstupů a stavů a pásma necitlivosti vstupu.*

Motor má pásmo necitlivosti pro napětí  $u \in <-0,5; 0,5>$ , ve kterém ani jeden ze výstupů nereaguje na výstup. Dále jsem identifikoval saturaci *omega*, kdy v intervalu vstupního napětí  $u \in (10; \infty)$  hodnota úhlové rychlosti nepřesahovala  $\omega = 830$  [ot/min] a pro hodnoty vstupního napětí  $u \in (-\infty; -10)$  nepřesahovala  $\omega = -830$  [ot/min]. S úhlovou rychlostí  $\omega$  souvisel samozřejmě i úhel  $\varphi$ , který rostl odhadem rychlostí 4000 [°/s], což by i přibližně odpovídalo s odečtenou úhlovou rychlostí  $\omega$ .

### 2.4.

*Pomocí vhodných experimentů na původním systému identifikujte parametry obruče. Předpokládejte, že vliv kuličky na obruč je zanedbatelný.*

Vyjdeme z zlinearizované rovnice:

$$\ddot{\varphi}(t) = c_1 \dot{\varphi}(t) + c_2 \dot{\psi}(t) + c_3 \psi(t) + c_4 u(t) \quad (49)$$

která popisuje chování obruče.

Zanedbáním vlivu kuličky na obruč, tj. zanedbáním křížového členu získáváme rovnici ve tvaru:

$$\ddot{\varphi}(t) = c_1 \dot{\varphi}(t) + c_4 u(t) \quad (50)$$

Provedeme Laplaceovu transformaci:

$$Y s^2 = c_1 Y s + c_4 U \quad (51)$$

Úpravou dostáváme:

$$Y(s^2 - c_1 s) = c_4 U \quad (52)$$

Nyní můžeme vyjádřit přenos:

$$H(s) = \frac{Y}{U} = \frac{c_4}{s(s - c_1)} = \frac{\frac{-c_4}{c_1}}{s(1 - \frac{1}{c_1} s)} \quad (53)$$

Výše uvedený přenos je pro případ identifikace možné zjednodušit na případ hledání přenosu ve tvar:

$$G(s) = \frac{k}{1 + T s} \quad (54)$$

Pól v nule je na mezi stability tudíž kmitá okolo výše uvedeného „nosného přenosu“. Zavede tedy substituci:

$$k = -\frac{c_4}{c_1} \quad T = -\frac{1}{c_1} \quad (55)$$

Odečtením z grafu odezvy této části systému na jednotkový skok dostáváme:

$$k = 8,6917 \quad T = 0,912 \rightarrow G(s) = \frac{52,29}{1 + 0,912s} \quad (56)$$

### 2.5.

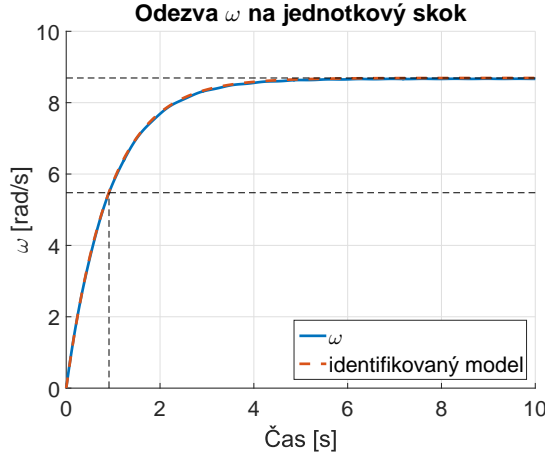
*Pomocí vhodných experimentů identifikujte parametry kuličky jako odezvu na počáteční podmínky při pevně chycené obruči. Koeficient útlumu a přirozená frekvence vychází stejně pro odezvu na skok i počáteční podmínky.*

Vyjdeme ze zlinearizované rovnice:

$$\ddot{\psi}(t) = d_1 \dot{\varphi}(t) + d_2 \dot{\psi}(t) + d_3 \psi(t) + d_4 u(t) \quad (57)$$

která popisuje chování kuličky uvnitř obruče. Je-li obruč pevně chycená, pak je její úhel neměnný a tudíž je jeho derivace nulová, využitím tohoto faktu dostáváme:

$$\ddot{\psi}(t) = d_2 \dot{\psi}(t) + d_3 \psi(t) + d_4 u(t) \quad (58)$$



Obrázek 1: Odměření jednotlivých konstant a odezva identifikovaného systému

Nyní provedeme Laplaceovu transformaci:

$$Ys^2 = d_2Ys + d_3Y + d_4U \quad (59)$$

Úpravou získáváme:

$$Y(s^2 - d_2s - d_3) = d_4U \quad (60)$$

Přenos píšeme ve tvaru:

$$H(s) = \frac{Y}{U} = \frac{d_4}{s^2 - d_2s - d_3} \quad (61)$$

čímž dostáváme přenos systému ve tvaru:

$$G(s) = k \frac{\omega_n^2}{s^2 + 2\zeta\omega_n s + \omega_n^2} \quad (62)$$

Nyní použijeme logaritmickou metodu identifikace pro kmitavý systém druhého řádu, oproti metodě použité na přednášce má tu výhodu, že není třeba zjišťovat dobu, kdy naposledy křivka překročí hodnotu  $\pm 2\%$ .

V prvním kroku z grafu odečteme  $A_1$  a  $A_2$ , které odpovídají prvnímu a druhému maximálnímu peaku odezvy. Dále si zjistíme první a druhý sestupný průchod grafu skrz hodnotu skrz ustálenou hodnotu, která je v našem případě nula stupňů (ovšem nutno dodat, že  $y(\infty) = 1$ , protože hodnoty grafu jsou posunuty o  $-\frac{\pi}{180}$  rad), z nichž vypočteme interval  $T_d$ .

Ze získaných hodnot  $y(\infty)$ ,  $A_1$ ,  $A_2$  a  $T_d$  vypočteme logaritmický dekrement útlumu  $\mu$ ,  $\zeta$ ,  $\omega_n$  a  $k$  podle následujících vztahů:

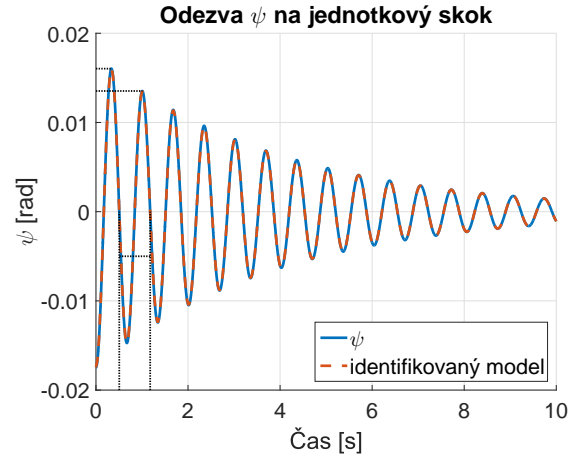
$$\mu = \ln \frac{A_1}{A_2} \quad \zeta = \frac{\mu}{\sqrt{4\pi^2 + \mu^2}} \quad (63)$$

$$\omega_n = \frac{2\pi}{T_d \sqrt{1 - \zeta^2}} \quad k = \frac{y(\infty)}{u(\infty)} \quad (64)$$

Výpočtem z hodnot v grafu podle výše uvedených vztahů získáváme:

$$k = 0,0175 \quad \zeta = 0,027 \quad \omega_n = 9,36 \quad (65)$$

$$G(s) = 0,0175 \frac{87,66}{s^2 + 0,5061s + 87,66} \quad (66)$$



Obrázek 2: Odměření jednotlivých konstant a odezva identifikovaného systému

## 2.6.

Určete křížové členy mezi kuličkou a obručí a naopak.

Při určování křížových členů vyjdeme z konstant  $k'_{1-6}$  předpokládajících  $R \gg r$ , ze substituce provedené pro  $c_{1-4}$  a  $d_{1-4}$  a z vlastností systémů (konstant  $k$ ,  $T$  a  $k$ ,  $\zeta$ ,  $\omega_n$ ) identifikovaných v bodě 2.4 a 2.5. Po sestavení soustavy rovnic a jejím vyřešení dostáváme pro křížové členy (tj. výrazy  $c_2$ ,  $c_3$  a  $d_1$ ):

$$c_2 \doteq 0,8386 \quad c_3 \doteq -34,9426 \quad d_1 \doteq 0,4324 \quad (67)$$

Všechny konstanty ( $c_{1-4}$  a  $d_{1-4}$ ) včetně fyzikálních parametrů uvádí následující tabulka (všechny soustavy byly řešeny numerickými metodami).

$c_1 \doteq -1,0965$	$c_2 \doteq 0,8386$
$c_3 \doteq -34,9427$	$c_4 \doteq 7,9268$
$d_1 \doteq 0,4324$	$d_2 \doteq -0,5061$
$d_3 \doteq 87,6600$	$d_4 \doteq 4,7836$
$J_h \doteq 10,4561$	$R \doteq 23,2691$
$b_b \doteq 1,0725 \times 10^{-8}$	$b_h \doteq 0,0154$

## 2.7.

Vytvořte v Simulinku nelineární (včetně všech statických nelinearit) a linearizovaný model.

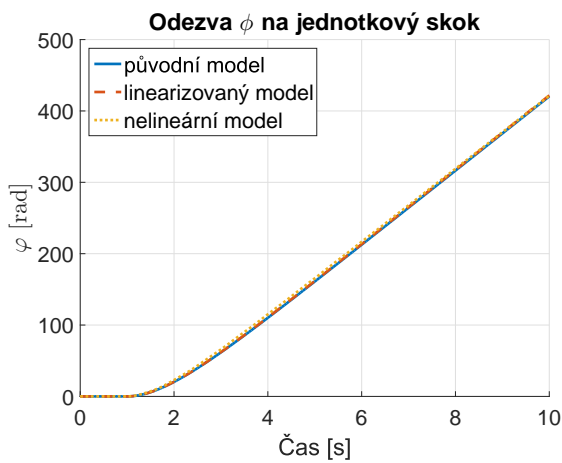
Ze stavových rovnic (17)-(20) jsem sestavil schéma v Simulinku, do kterého jsem dosadil za konstanty ( $c_{1-4}$  a  $d_{1-4}$ ) hodnoty vypočtené v bodě 2.6. Dále jsme

tento nelineární model doplnil o saturace identifikované v bodě 2.3.

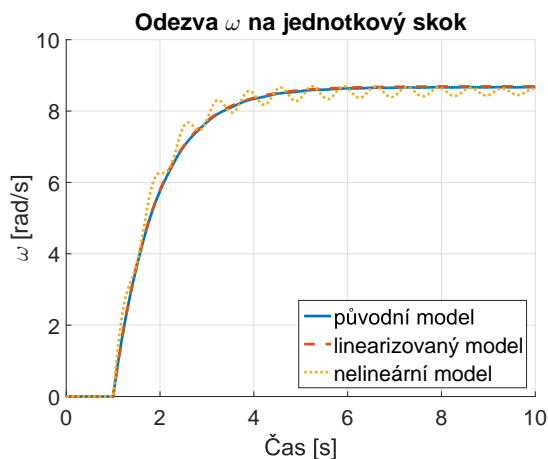
V případě linearizovaného modelu jsem použil přenosové rovnice sestavené v bodech 2.4 a 2.5.

## 2.8.

Porovnejte odezvy (obou výstupů) z modelu z bodu 7. skutečného systému na vámi (vhodně) zvolené vstupní signály a počáteční podmínky. Do grafů nezapomeňte uvést vstupní signál. Zhodnoťte úlohu.

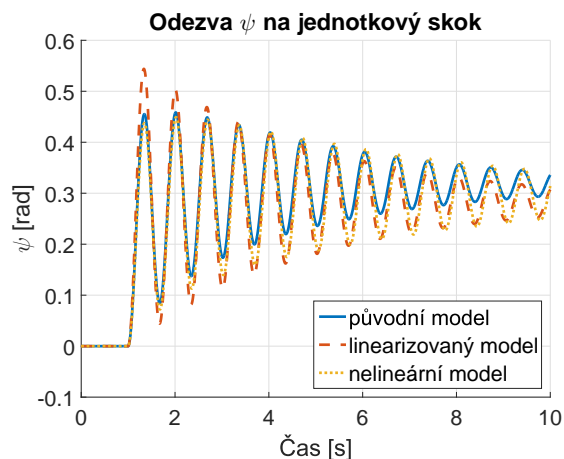


Obrázek 3: Odezva systému ( $\varphi$ ) na jednotkový skok (v čase  $t = 1$  s) při nulových počátečních podmínkách



Obrázek 4: Odezva systému ( $\omega$ ) na jednotkový skok (v čase  $t = 1$  s) při nulových počátečních podmínkách

Výše uvedené grafy, ve kterých byl vstupním signálem jednotkový skok v čase  $t = 1$  s a počáteční



Obrázek 5: Odezva systému ( $\psi$ ) na jednotkový skok (v čase  $t = 1$  s) při nulových počátečních podmínkách

podmínky byly pro všechny systémy nastaveny na nulu ( $\varphi = 0$  rad,  $\omega = 0$  rad/s a  $\psi = 0$  rad), ukazují, že nejlépe byl systém identifikován pro výstup  $\varphi$ , což vzhledem k jednoduchosti příslušné části systému není překvapivé.

Zajímavější (tzn. méně přesná) je pak identifikace výstupu  $\omega$ , kde linearizovaný model kolem nekmitá vůbec, ale naopak lineární model kmitá až příliš. Osobně přikládám tyto odchylky od skutečného modelu nepřesnostmi zapříčiněné použitou metodou (tj. postupným zanedbáním křížových členů) a následným numerickým řešením soustav rovnic.

Nejméně přesně pak vychází identifikace výstupu  $\psi$ , kde sice jak linearizovaný a nelineární mají se zadaným modelem shodnou frekvenci, v amplitudě a v ustálené hodnotě se odlišují, pravděpodobně byl nepřesně určen koeficient útlumu (logaritmický dekrement útlumu).

## Poděkování

Předně patří mé vřelé díky Ing. Miloslavu Čapkovi, Ph.D. a jeho kolegům z katedry elektromagnetického pole, kteří nás ve volitelném předmětu Matlab naučili elementárním znalostem Matlabu, které nám nikdo v povinných předmětech nepředal. Dále patří mé díky ostatním studentům, se kterými jsem mohl své postupy a řešení konzultovat, jmenovitě Janu Machálkovi a Lukáši Majerovi.